

Electric Drives
Laboratory
DII - UniPD

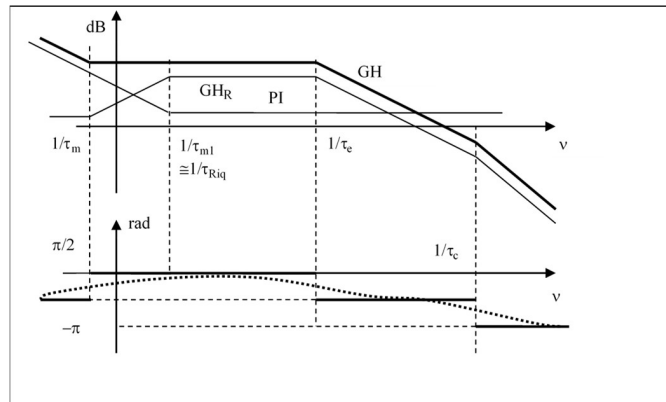
Azionamenti Elettrici

Lezioni a.a. 2018-2019

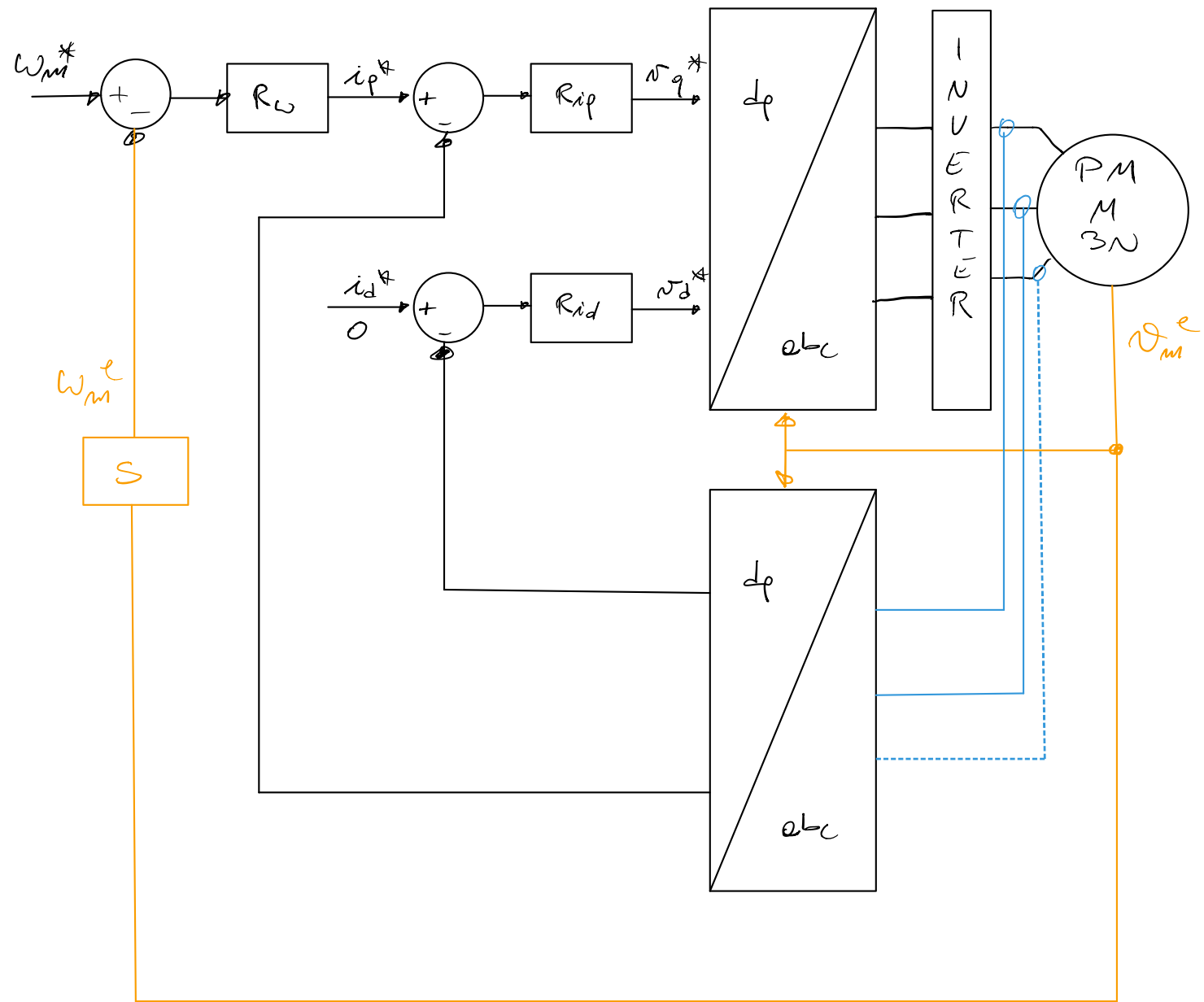
prof. Silverio Bolognani

PARTE III

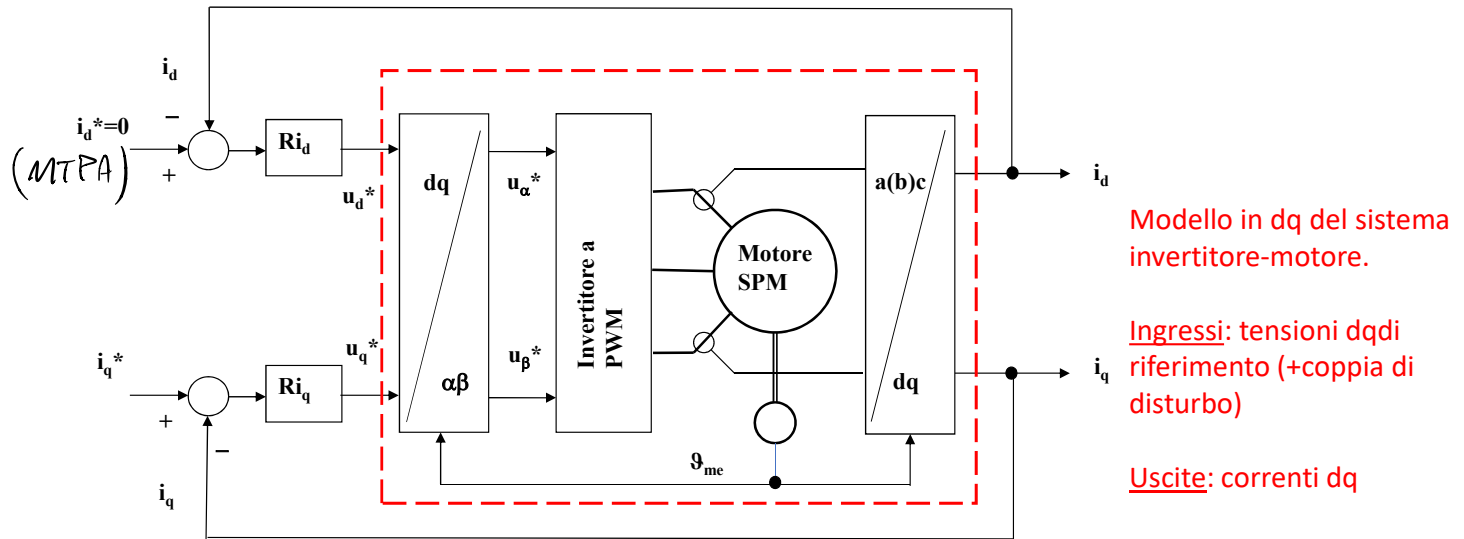
Controllo di corrente «PID sincrono» in azionamenti con motore sincrono



MACCINNA ISOTROPA MTPA

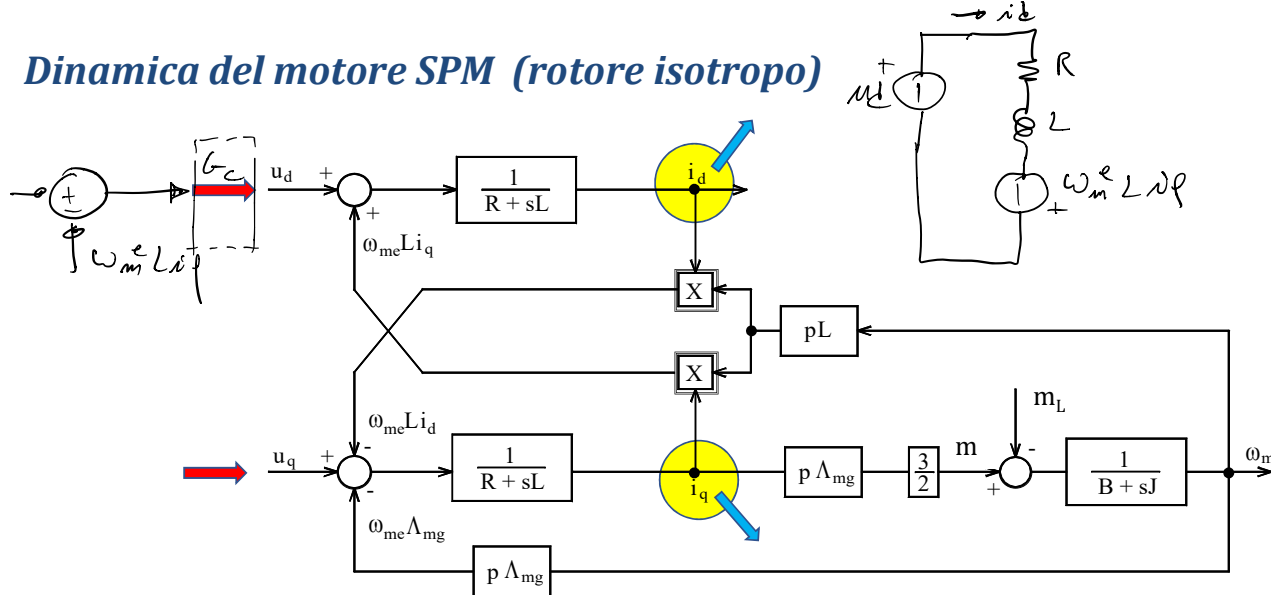


Schema a blocchi del controllo di corrente dq di un motore SPM



$$M_d = R_{id} + L \frac{di_d}{dt} - \omega_m^e L_{iq}$$

Dinamica del motore SPM (rotore isotropo)

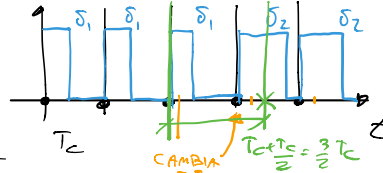


Nel sistema di riferimento dq la dinamica tensione-corrente del motore SPM è quella di un **sistema a due ingressi e due uscite**.

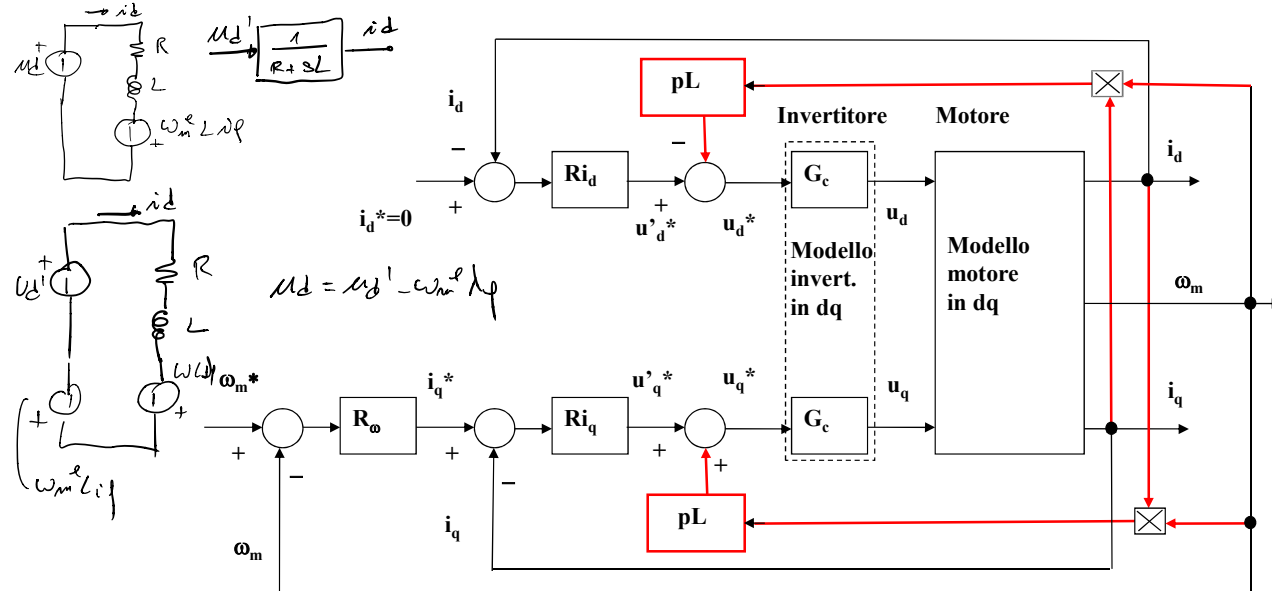
$$G_C = \frac{1}{1 + s \tau_C}$$

$$\tilde{\tau}_C = \frac{3}{2} \tau_C$$

$$\text{es: } f_s = 100 \text{ kHz}, \quad \tau_C = 10 \mu\text{s}$$

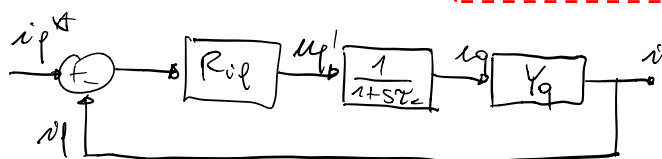
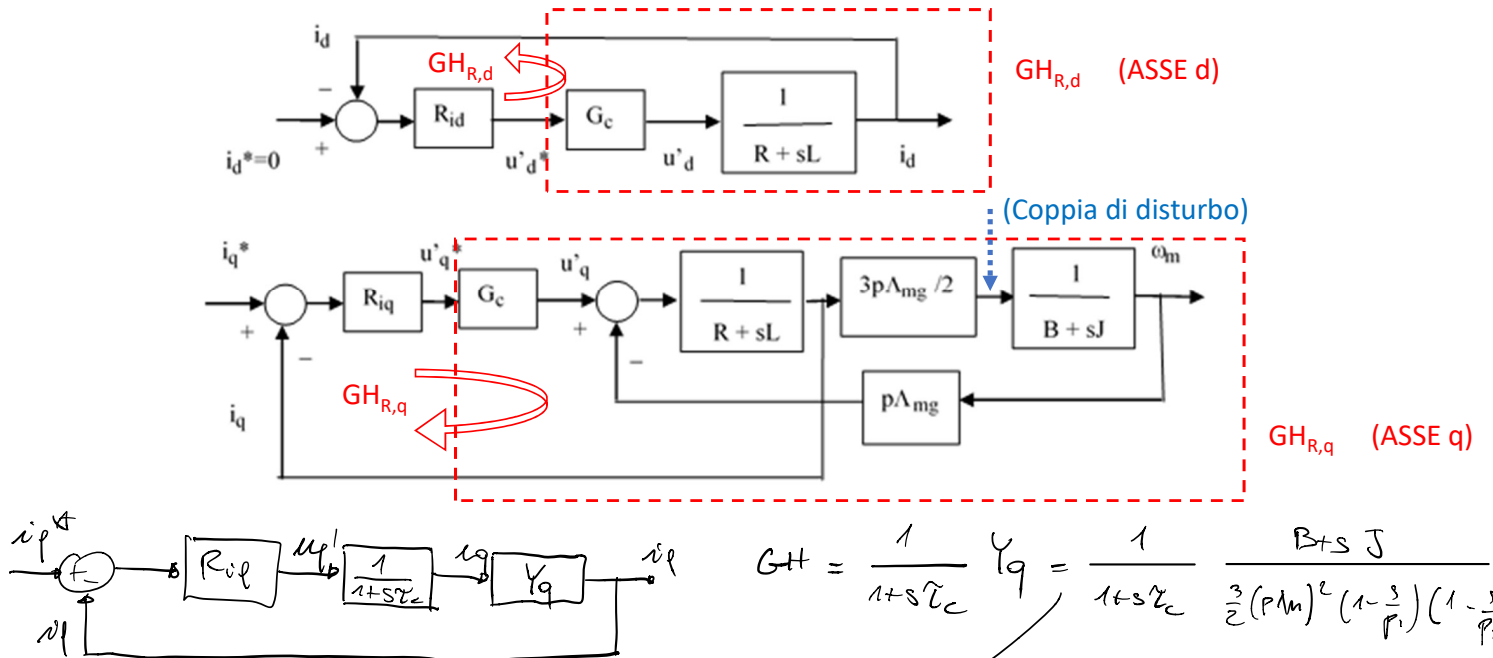


Schema a blocchi del controllo di un azionamento brushless isotropo (SPM)



In rosso le azioni di disaccoppiamento degli assi
per trasformare il sistema 2_IN/2_OUT in due sistemi 1_IN/1_OUT

Anelli di controllo delle correnti dq dopo disaccoppiamento degli assi



$$GHT = \frac{1}{1+s\tau_c} Y_q = \frac{1}{1+s\tau_c} \frac{B+sJ}{\frac{3}{2}(p\Lambda_m)^2 \left(1 - \frac{3}{p_1}\right) \left(1 - \frac{s}{p_2}\right)}$$

19-Nov-18

Lezioni di Azionamenti Elettrici a.a. 2018-2019

$$\tau_m = \frac{\Sigma}{B}$$

$$\tau_e = \frac{L}{R}$$

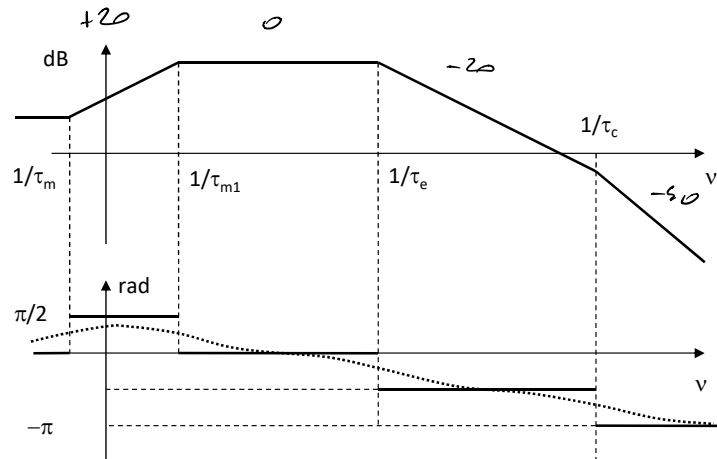
$$\tau_{mag} = \frac{JR}{\frac{3}{2}(p\Lambda_m)^2}$$

$$\tau_m < \tau_{mag} < \tau_e < \tau_c$$

$$= \frac{B(1+s\tau_m)}{\frac{3}{2}(p\Lambda_m)^2 (1+s\tau_c) (1+s\tau_e) (1+s\tau_{mag})}$$

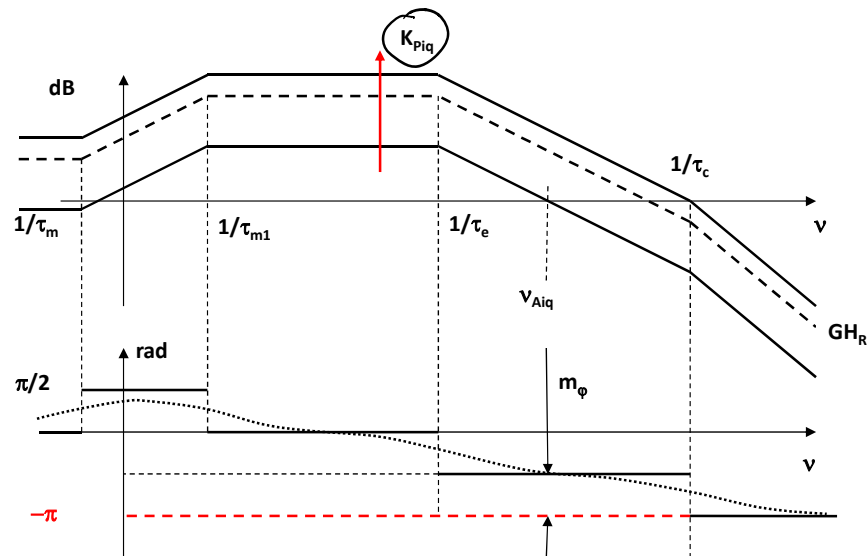
Diagrammi di Bode di $GH_{R(q)}(j\nu)$

$$\omega H = \frac{B(1 + s\tau_m)}{s^2(\rho\tau_m)^2(1 + s\tau_c)(1 + s\tau_e)(1 + s\tau_{m1})}$$



$$R_{iq} = K_{Piq}$$

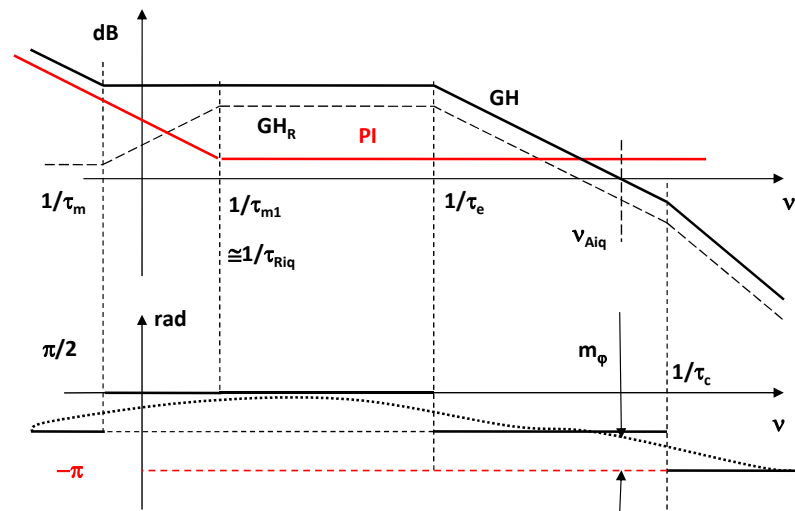
Diagrammi di Bode di $GH_{(q)}(j\nu)$ con regolatore P



$$R_{\text{ref}} = K_P + \frac{K_I}{S} = K_I \frac{1+s\tau_{R,\text{ref}}}{s} = K_P \frac{1+s\tau_{R,\text{ref}}}{s\tau_{R,\text{ref}}}$$

$$\tau_{R,\text{ref}} = \frac{K_P}{K_I}$$

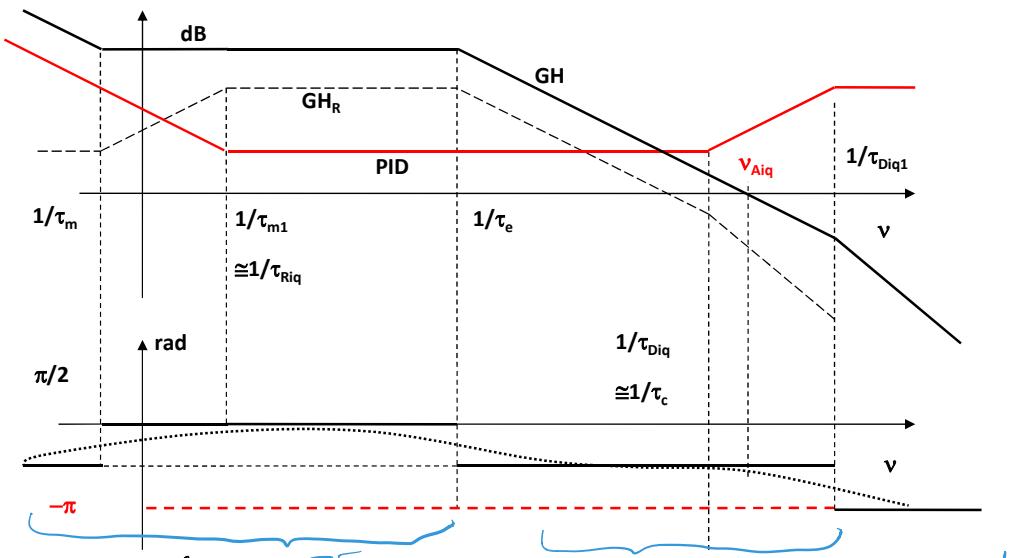
Diagrammi di Bode di $GH_{(q)}(j\nu)$ con regolatore PI



ERRORE A REGOLARE NUOVO !

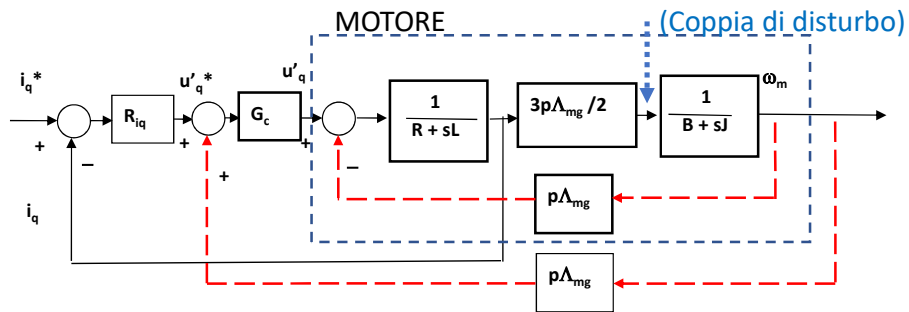
$$R_{Op} = k_p + \frac{k_i}{s} + s k_D = k_i \frac{(1+s\tau_{R,op}) (1+s\tau_{D,op})}{s}$$

Diagrammi di Bode di $GH_{(q)}(j\nu)$ con regolatore PID



$$R_{Op} = k_i \frac{1+s\tau_{R,op}}{s} \underbrace{\frac{1+s\tau_{D,op}}{1+s\tau_{D,op1}}}_{PI} \quad D: Attenuazione banda passante$$

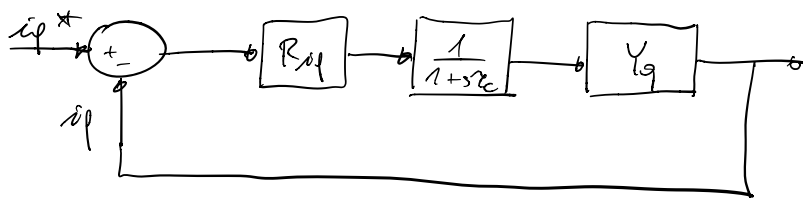
Schema a blocchi del controllo della corrente in quadratura dopo disaccoppiamento e compensazione della fem



In rosso l'azione di compensazione della fem

Le fdt dell'anello di asse q non risente dei parametri meccanici e dell'effetto della coppia di disturbo.

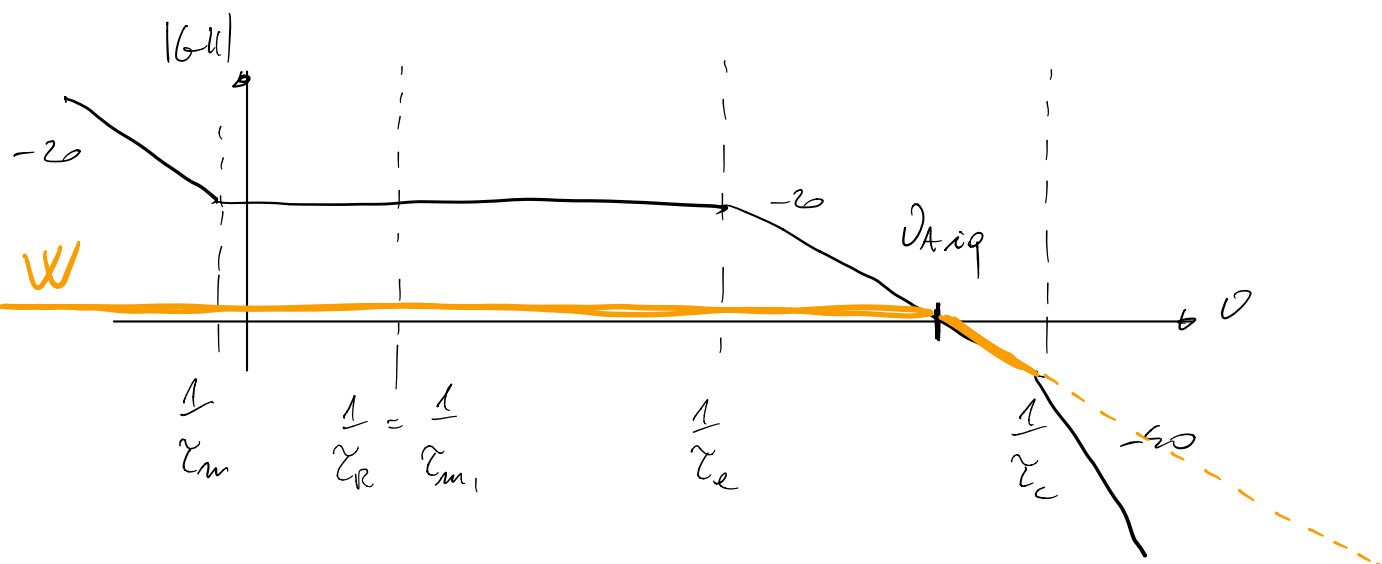
Con motore SPM diventa identica a quella dell'asse d.



$$GHT = R_{ip} \frac{1}{1+s\tau_c} \quad Y_q = \frac{R_{ip}}{1+s\tau_c} \frac{1+s\tau_m}{(1+s\tau_c)(1+s\tau_e)(1+s\tau_m)}$$

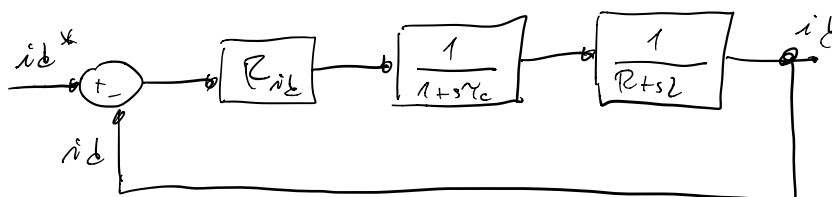
$$= \frac{1+s\tau_R}{s} \frac{1+s\tau_m}{(1+s\tau_c)(1+s\tau_e)(1+s\tau_m)}$$

$$W = \frac{G}{1+GHT} = \begin{cases} \infty & GHT \gg 1 \quad W = 1 \\ \infty & GHT \ll 1 \quad W = G \end{cases}$$



$$W \approx \frac{1}{1 + s \frac{1}{\tau_{Ang}}}$$

Similmente per l'errore ϵ



ESEMPIO : DIMENSIONARE ANOCCI DI CONTROLLO PER UN MOTORE SPM

$$R_s = 1,5 \Omega$$

$$\chi_m = 0,067 \text{ Vs}$$

$$L = 5 \text{ mH}$$

$$I_m = 3,1 \text{ A rms}$$

$$M_m = 1,77 \text{ Nm}$$

$$P = 4$$

$$J = 0,28 \cdot 10^{-3} \text{ kg m}^2 \quad T = 100 \mu\text{s}$$

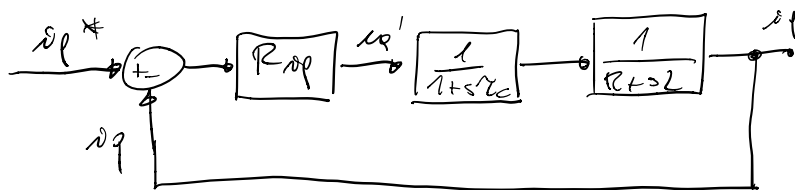
$$B = 0,00192 \frac{\text{Nm}}{\text{Ampere}^2}$$

$$U_m = 85 \text{ V(rms)}$$

$$\omega_m = 500 \frac{\text{rad}}{\text{s}}$$

$$P_m = 750 \text{ W}$$

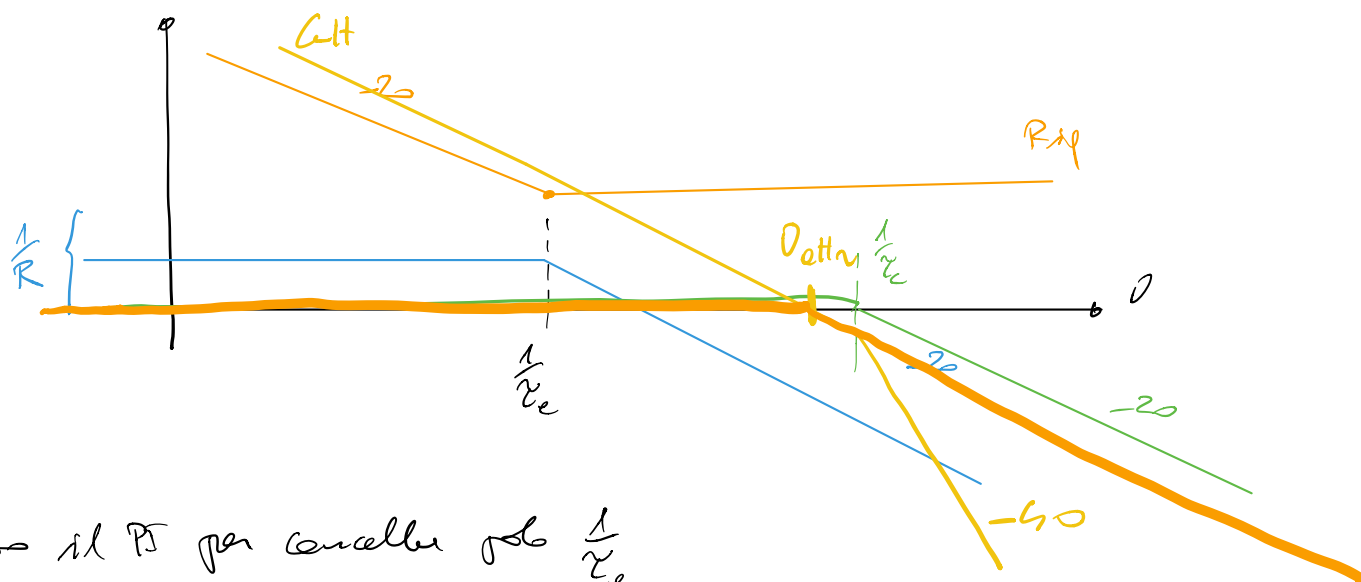
uso diagramma K31 per componenti T. CEM.



$$\frac{1}{R+L} = \frac{\frac{1}{R}}{1 + s \frac{L}{R}} = \frac{\frac{1}{R}}{1 + s \chi_e}$$

$$\chi_e = \frac{L}{R} = \frac{5 \cdot 10^{-3}}{1,5} = 3,3 \text{ ms}$$

$$\chi_c = \frac{3}{2} \tau_c = 1,5 \cdot 100 \mu\text{s} = 150 \mu\text{s}$$



uso il PS per cancellare polo $\frac{1}{\chi_e}$

$$R_{Rp} = R_p \frac{1 + s \chi_{Rp}}{s \chi_{Rp}}$$

$$\frac{1}{\chi_{Rp}} = \frac{L}{\chi_e} = \frac{1}{3,3 \cdot 10^{-3}} = 285,7$$

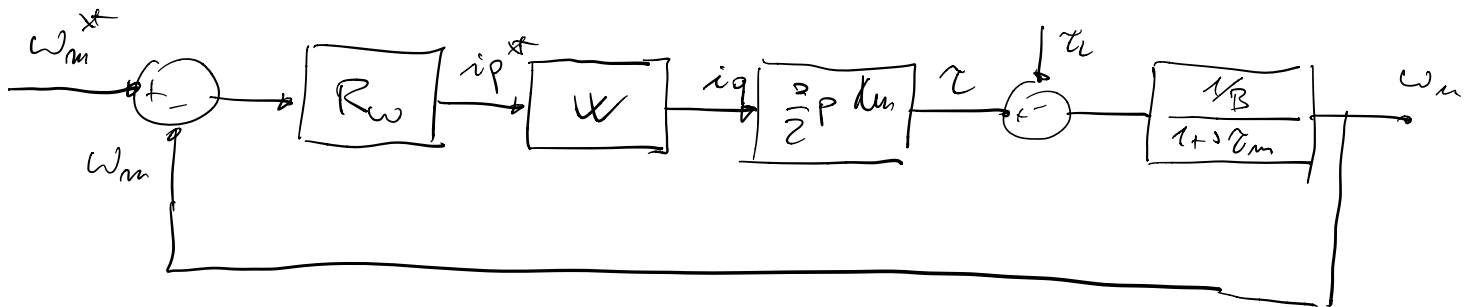
Scelgo $M_p = 70^\circ = 180 + \alpha \text{f} \text{ Catt} (\geq \text{Dettm})$

$$\text{Dettm} = \frac{\tan 20^\circ}{150 \cdot 10^{-6}} = 2926 \frac{\text{rad}}{\text{s}}$$

$$W = \frac{1}{1 + s \frac{1}{\text{Dettm}}} = \boxed{\frac{1}{1 + s \cdot 4,12 \cdot 10^{-5}}}$$

$$\text{Colab } k_p \quad |G(s + j\omega_m)| = 1 \quad \dots \quad k_p = 15,82 \frac{V}{A}$$

$$R_{iq} = k_p \frac{1+s \tau_{Riq}}{s \tau_{Riq}} = \boxed{15,82 \frac{1+s \cdot 3,5 \cdot 10^{-3}}{s \cdot 3,5 \cdot 10^{-3}}}$$



$$R_w = k_{pw} \frac{1 + s \tau_{iw}}{s \tau_{iw}}$$

$$\tau_{iw} = \tau_m = \frac{\tau}{B} = \frac{0,29 \cdot 10^{-3}}{900 \cdot 192} = 0,15 \text{ s}$$

$$\text{Leyendo } M\phi = 70^\circ = 180 + \arg G(s + j\omega_m)$$

$$J_{\text{ethn}}^{\omega} = 631,5 \frac{\text{rad}}{\text{s}} \quad \left(\text{J_{ettr} = 2626 } \frac{\text{rad}}{\text{s}} \text{ ANGOS DI CERRO NAR} \right)$$

$$\text{Leyendo } |G(s + j\omega_m)| = 1 \Rightarrow k_{pw} = 0,58$$

$$R_w = 0,58 \frac{1 + 0,15 \cdot s}{s \cdot 0,15}$$

SIMULADOR IN SIMULINK: